

крутизны  $I - U$  - характеристики при токе 4-8 мА также может быть связано с излучательной рекомбинацией через квантовые состояния на п-п-гетерогранице.

В заключение выражаем благодарность А.А. Рогачеву за стимулирующие дискуссии и поддержку работы, С.С. Архиловой - за сборку приборов.

### Л и т е р а т у р а

- [1] Бочкарёв Э.А., Долгинов Л.М., Дракин А.Е., Дружинина Л.В., Елисеев П.Г., Свердлов Б.Н., Скрипкин В.А. - Квантовая электроника, 1986, т. 13, в. 10, с. 2119-2120.
- [2] Datt B.V., Temkin H., Kolb E.D., Sunder W.A. - Appl. Phys. Lett., 1985, v. 45, N 2, p. 111-113.
- [3] Баранов А.Н., Джуртанов Б.Е., Именков А.Н., Рогачев А.А., Шерняков Ю.М., Яковлев Ю.П. - Письма в ЖТФ, 1986, т. 12, в. 11, с. 664-667.
- [4] Андреев И.А., Афраилов М.А., Баранов А.Н., Данильченко В.Г., Мирсагатов М.А., Михайлова М.П., Яковлев Ю.П. - Письма в ЖТФ, 1986, т. 12, в. 21, с. 1311-1315.
- [5] Долгинов Л.М., Дружинина Л.В., Мильвидский М.Г., Мухитдинов М., Михаев Э.С., Рожков В.М., Шевченко Е.Г. - Измерительная техника, 1981, в. 6, с. 65-67.

Физико-технический  
институт им. А.Ф. Иоффе  
АН СССР, Ленинград

Поступило в Редакцию  
19 января 1988 г.

Письма в ЖТФ, том 14, вып. 9

12 мая 1988 г.

### ОТКЛОНЕНИЕ ПУЧКА ЭЛЕКТРОНОВ С ЭНЕРГИЕЙ 1.5 МэВ ИЗОГНУТЫМИ ТРУБКАМИ

А.Ю. Басай, С.А. Воробьев,  
В.В. Каплин, Е.И. Розум,  
А.М. Слупский

Выполненные в последние годы работы по канализированию заряженных частиц в изогнутых монокристаллах [1, 2] стимулировали исследования отклонения потоков излучений изогнутыми поверхностями и волноводами [3-5]. В работах [6, 7] было показано, что

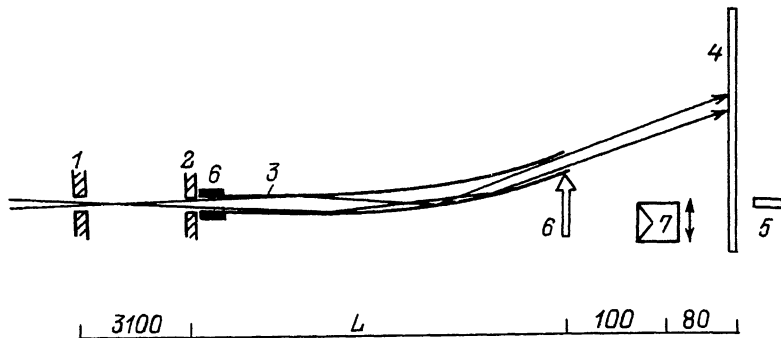


Рис. 1. Схема эксперимента. 1, 2 - алюминиевые коллиматоры; 3 - капиллярная трубка; 4 - фотокассета; 5 - лазер; 6, 6' - изгибающее устройство; 7 - подвижный цилиндр Фарадея.

пучок электронов, попадая под небольшими углами в протяженные щели в поглотителе, отражается от их стенок, что обеспечивает изменение направления движения некоторой части пучка вдоль щели.

В данной работе впервые наблюдался эффект отклонения пучка электронов изогнутыми стеклянными и латунными трубками. Рассмотрены перспективы использования обнаруженного эффекта для управления электронными потоками в отсутствие внешних полей.

Работа выполнена на выведенном пучке микротрона с полной энергией электронов 15 МэВ [8]. Схема эксперимента показана на рис. 1. С помощью тракта коллимации 1, 2 формировался пучок электронов с угловой расходимостью  $\sim(0.04-0.06)^\circ$ . В исследованиях использованы стеклянные капиллярные трубы 3 с внутренним диаметром 1.2 и 2.5 мм и длиной 180, 330 и 800 мм, а также латунные трубы диаметром 2.5 и длиной 265 мм. Для обеспечения нужного сечения и угловой расходимости пучка электронов коллиматор 2 был сменным и устанавливался непосредственно перед трубкой. Регистрация электронов осуществлялась подвижным цилиндром Фарадея 7 с соответствующим усилительным трактом, а также с помощью фототехнической пленки 4, установленной на расстоянии 180 мм от выходного торца трубы. Юстировка трубок на электронном пучке осуществлялась с помощью лазера 5 типа ЛГ-78 после предварительной трассировки пучка. Измерения проводились в вакууме. Упругий изгиб трубок осуществлялся путем калиброванного перемещения свободного торца трубы. Отсутствие остаточной деформации трубок контролировалось также по лазерному лучу. Во время проведения измерений осуществлялось визуальное наблюдение за процессом изгиба трубок с помощью телекамеры КТ-2. Изгибающий шток 6 выполнен в виде рычага, установленного на подвижной оси вращения, введенной в вакуумную камеру, и позволяет многократно изгибать трубку в горизонтальном и вертикальном направлениях.

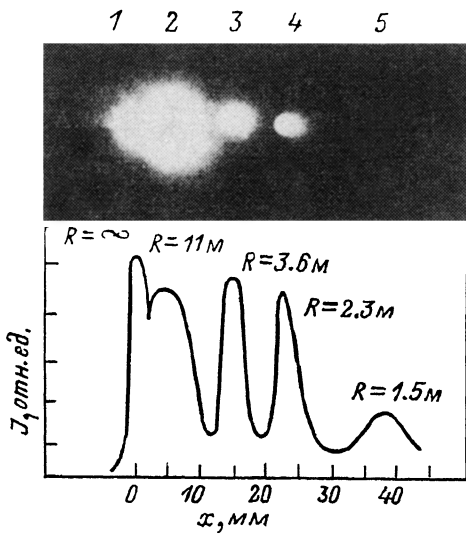


Рис. 2. Фотография отклоненного пучка и кривая фотометрирования для стеклянной трубы диаметром 1.2 мм и длиной 180 мм.

На рис. 2,а приведена фотография изображений электронного пучка для различных радиусов изгиба стеклянной трубы. Впервые полученные экспериментальные результаты демонстрируют отклонение пучка на углы  $\theta = 0.1^\circ, 0.25^\circ, 0.38^\circ, 0.6^\circ$ . На рис. 2,б приведены результаты фотометрирования. Времена экспозиции, подобранные по токам электронного пучка с помощью цилиндра Фарадея, соотносятся как  $t_1 : t_2 : t_3 : t_4 : t_5 = 1 : 10 : 40 : 40 : 40$ . Изображение пучка, полученное для прямой трубы, имеет поперечное сечение 1  $\text{мм}^2$ . При этом пучок электронов, имеющий на входе в трубку угловую расходимость  $\sim 0.04^\circ$  и сечение  $< 1 \text{ мм}^2$ , проходит через трубку практически не взаимодействуя с ее стенками. Поперечное сечение и угловая расходимость прошедшего через трубку пучка определяется полностью его начальной угловой расходимостью.

При радиусе изгиба трубы  $R_{изг} \geq 11 \text{ м}$  пучок электронов взаимодействует в основном с дальним концом трубы, испытывая сильное рассеяние, поэтому изображение пучка 2 представляет собой размытое пятно диаметром около 5 мм. Пятна 3, 4, 5 на фотографии, соответствующие радиусам изгиба трубы  $R_{изг} = 3.6 \text{ м}, 2.3 \text{ м}, 1.5 \text{ м}$ , имеют диаметр 2 мм. Из рис. 2 видно, что начиная с угла поворота  $\theta = 0.384^\circ$  максимальная интенсивность в изображениях отклоненных пучков все более смещается от центра изгиба трубы, и пятно на пленке все более приобретает серповидную форму. Это означает, что с увеличением изгиба трубы все большая часть электронов скользит вдоль внешней относительно изгиба стороны канала трубы. При этом угловая расходимость прошедшего через трубку

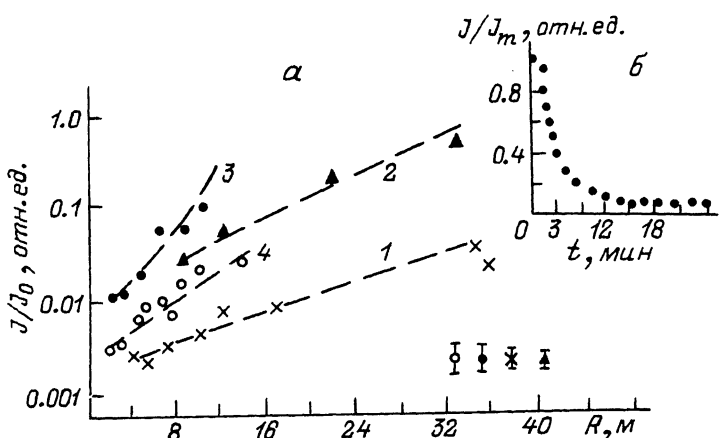


Рис. 3. а) Зависимость эффективности прохождения пучка электронов через изогнутые стеклянные (1, 2, 3) и латунную (4) трубы от радиуса изгиба. Внутренний диаметр трубы: 1,2 мм - (1.3); 2,5 мм - (2,4); длина трубы: 330 мм - 1; 800 мм - 2; 180 мм - 3; 265 мм - 4. Зависимость 3 для стеклянной трубы с внутренним серебряным покрытием. б) Временная зависимость прохождения электронов через прямую стеклянную трубку диаметром 1,2 и длиной 180 мм.

пучка определяется не начальной угловой расходимостью пучка, а угловым раскрытием канала трубы. Подобные изображенным на рис. 2 изменения зависимости отклоненного электронного пучка наблюдаются также и для трубок других длин и диаметров, а также и для трубок из латуни.

На рис. 3,а показаны зависимости прошедшего через различные трубы тока электронного пучка от радиуса их изгиба. Нормирование зависимостей проводилось на значение тока электронов, прошедших через прямую трубку. Видно, что с увеличением изгиба трубы величина прошедшего тока уменьшается для всех трубок и при радиусах изгиба  $R_{изг} \sim 5$  м составляет не более 1–2%.

Прохождение электронов через изогнутые трубы зависит от их длины и внутреннего диаметра. Увеличение длины трубы при постоянном диаметре и радиусе изгиба приводит к увеличению количества отражений электронов от стенок изогнутой трубы и к уменьшению числа прошедших через трубку частиц. Действительно, зависимость 1, соответствующая более длинной трубке по сравнению с 3, лежит значительно ниже. Увеличение же длины и внутреннего диаметра стеклянной трубы на одну и ту же величину (зависимость 1 и 2, для которых соотношения между длиной и диаметром одинаковы) приводит к некоторому улучшению прохождения электронов через изогнутую трубку. Хотя казалось бы наоборот, увеличение

диаметра трубы должно приводить к уменьшению вклада электронов, отражающихся от стенок трубы под малыми углами, и также приводить к уменьшению числа прошедших через трубку частиц. Для анализа зависимости 4 для латунной трубы необходимо учесть влияние на коэффициент отражения электронов при скользящем падении материала отражающей поверхности и ее качества.

При исследовании стеклянных трубок нами наблюдалось уменьшение тока прошедших через прямую трубку электронов с течением времени облучения. На рис. 3,б приведена временная зависимость прохождения электронного пучка через прямую стеклянную трубку диаметром 1,2 и длиной 180 мм. Полученная зависимость демонстрирует своеобразный эффект „запирания“ прохождения – по истечении около десяти минут облучения ток прошедших трубку электронов падает примерно на порядок. Обнаруженный эффект обусловлен, по нашему мнению, заряжением диэлектрического материала стенок трубы пучком, образованием запирающего потенциала и, как следствие, увеличением рассеяния электронов. На латунной трубке подобный эффект не наблюдается. Такой эффект устраняется нанесением на внутреннюю поверхность стеклянной трубы тонкого серебряного покрытия и заземлением его. При изгибе стеклянных трубок уменьшения тока прошедшего пучка от времени облучения также не наблюдается.

Таким образом, полученные результаты показывают возможность отклонения электронов без использования магнитных и электрических полей и могут быть использованы при разработке различных устройств для управления пучками электронов.

#### Л и т е р а т у р а

- [1] Водопьянов А.С., Головатюк В.Н., Елишев А.Ф. и др. – Письма в ЖЭТФ, 1979, т. 30, с. 474–478.
- [2] Адищев Ю.Н., Ананьев П.С., Воробьев С.А., Забаев В.Н., Калинин Б.Н., Каплин В.В., Потылицын А.П., Розум Е.И. – Письма в ЖТФ, 1979, т. 5, в. 24, с. 1485.
- [3] Watanabe M., Hidaka T., Tamai N. et al. – Appl. Phys. Lett., 1984, v. 45, N 1, p. 725–727.
- [4] Аркадьев В.А., Коломийцев А.И., Кумахов М.А., Лабузов В.В., Чертов Ю.П., Шахпаронов И.М. – Поверхность, 1987, № 2, с. 44–47.
- [5] Виноградов А.В., Елисон В.М., Жилина В.И., Зорев Н.Н., Ивановский Г.Ф., Кожевников И.В., Плоткин М.Е., Сагитов С.И., Слемзин В.А., Слепцов В.В. – ДАН СССР, 1978, т. 292, № 3, с. 594–596.

- [6] Бойко В.И., Евстигнеев В.В., Плотников А.Л. - Атомная энергия, 1974, т. 36, в. В, с. 515-517.
- [7] Бойко В.И., Евстигнеев В.В., Кононов Б.А., Плотников А.Л., Горбачев Е.А. - Атомная энергия, 1974, т. 40, в. 3, с. 221-226.
- [8] Гридинев В.И., Розум Е.И., Слупский А.М., Воробьев С.А. - ПТЭ, 1987, № 1, с. 20-23.

Поступило в Редакцию  
22 июля 1987 г.

Письма в ЖТФ. том 14, вып. 9

12 мая 1988 г.

## ЭЛЕКТРОПРОВОДНОСТЬ $\gamma$ -ОБЛУЧЕННЫХ ХОЛЕСТЕРИЧЕСКИХ ЖИДКИХ КРИСТАЛЛОВ

А.В. Ковальчук, О.Д. Лаврентович,  
В.А. Линев

В настоящей работе впервые исследованы основные электрофизические свойства жидких кристаллов (ЖК), такие как удельная электропроводность  $\sigma$  и подвижность носителей заряда  $\mu$ , подвергнутых воздействию ионизирующего излучения. Показано, что механизм электропроводности в облученных и необлученных ЖК различен.

Объектами исследования служили производные холестерина (холестерил-пеларгонат - ХП и холестерилформиат - ХФ), широко распространенные как в практических применениях, так и в биологических системах. Ранее нами было показано, что именно этот класс ЖК веществ является одним из наиболее чувствительных к ионизирующему излучению [1].

Облучение ЖК проводилось на серийной установке К-100000 ( $60^{\circ}\text{C}$ ), где дозы облучения составляли 200, 400, 800 кГр. Перед облучением образцы чистились методом перекристаллизации, описанным в [2], однако непосредственно перед измерениями  $\sigma$  и  $\mu$  контрольные и облученные образцы специальной очистке не подвергались. Измерение  $\sigma$  проводилось в постоянном электрическом поле по методике, подобной описанной в [3]. Подвижность носителей  $\mu$  измерялась по времени пролета носителей при переключении полярности напряжения [4]. Погрешность измерения температуры составляла  $0.1^{\circ}$ , а дозы - 25%.

На рис. 1 приведены температурные зависимости  $\sigma$  для ХП и ХФ при различных дозах  $\gamma$ -облучения. Как следует из полученных данных, значение  $\sigma$  увеличивается с дозой облучения  $D$ . Из анализа экспериментальных данных следует, что электропроводность имеет активационный характер: